

**Ppr-Ph14 – Initiation à la mécanique du solide – Mercredi 12 juin 2019**  
**Classe Aéro 1 (UE encadrée par D. Lounis)**

**Corrigé**

**PARTIE 1**

---

Montrer qu'un champ de moment est équiprojectif :

Il faut montrer l'égalité  $\vec{M}_A \cdot \vec{AB} = \vec{M}_B \cdot \vec{AB}$ . En utilisant la relation de changement de point d'un moment on écrit  $\vec{M}_A \cdot \vec{AB} = (\vec{M}_B + \vec{AB} \wedge \vec{R}) \cdot \vec{AB}$  et en développant on constate que le produit mixte  $(\vec{AB} \wedge \vec{R}) \cdot \vec{AB}$  est nul. On confirme l'égalité des produits scalaires  $\vec{M}_A \cdot \vec{AB} = \vec{M}_B \cdot \vec{AB}$ .

Les deux invariants scalaires : le premier invariant scalaire est le produit scalaire entre les deux éléments de réduction du torseur.  $I = \vec{R} \cdot \vec{M}_A = \vec{R} \cdot (\vec{M}_B + \vec{AB} \wedge \vec{R})$  avec  $\vec{M}_A = \vec{M}_B + \vec{AB} \wedge \vec{R}$

On vérifie alors que :  $I = \vec{R} \cdot \vec{M}_A = \vec{R} \cdot \vec{M}_B$

Le deuxième invariant scalaire est le comoment. La démonstration se fait par le même protocole.

Orthogonalité d'un torseur glisseur : il suffit d'écrire le premier invariant scalaire pour constater que ce dernier est nul. On montre alors l'orthogonalité d'un torseur glisseur.

**PARTIE 2**

---

Après simplification, nos vecteurs deviennent :  $\vec{U} = -2\vec{i} - 4\vec{j} + 5\vec{k}$  et  $\vec{V} = 4\vec{i}_\psi + 2\vec{j}_\psi + \vec{k}_\psi$

$$\lambda = -(8 + 3 \cos \psi + 22 \sin \psi)$$

$$\vec{W} = [4(-1 + \sin \psi) - 10 \cos \psi] \vec{i}_\psi + (22 \cos \psi - 3 \sin \psi) \vec{j}_\psi + 2[8 - 2 \cos \psi - 5 \sin \psi] \vec{k}_\psi$$

**PARTIE 3**

---

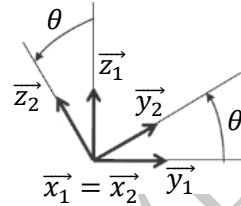
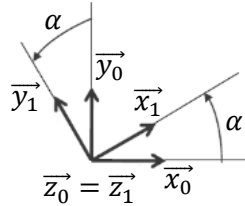
$$\vec{R} = \vec{F}_0 + \int \vec{F}_{1(M)} d\mu + \int \vec{F}_{2(M)} d\mu + \vec{F}_3$$

$$\vec{R} = (F_0 - F_3 - 2fa - \frac{pa^2}{12}) \vec{j}$$

$$\begin{aligned}\vec{M}_A &= \vec{AA} \wedge \vec{F}_0 + \int (\vec{AP}_1 \wedge \vec{F}_{1(M)} d\mu) + \int (\vec{AP}_2 \wedge \vec{F}_{2(M)} d\mu) + \vec{AE} \wedge \vec{F}_3 \\ \vec{M}_A &= \vec{0} + \int_0^a (x\vec{i} \wedge -\frac{p}{6} x dx \vec{j}) + \int_{3a}^{5a} (x\vec{i} \wedge -f dx \vec{j}) + 6a\vec{i} \wedge -F_3 \vec{j} \\ \vec{M}_A &= -\left(\frac{a^3 p}{18} + 8a^2 f + 6aF_3\right) \vec{k}\end{aligned}$$

## PARTIE 4

1<sup>ère</sup> façon



2<sup>ème</sup> façon

$$(\vec{x}_0, \vec{y}_0, \vec{z}_0) \xrightarrow[\vec{z}_0 = \vec{z}_1]{\alpha} (\vec{x}_1, \vec{y}_1, \vec{z}_1) \xrightarrow[\vec{x}_1 = \vec{x}_2]{\theta} (\vec{x}_2, \vec{y}_2, \vec{z}_2)$$

Torseurs cinématiques :

$$\{\mathcal{V}_{S_1/S_0}\} = \begin{cases} \overrightarrow{\Omega_{S_1/S_0}} = \dot{\alpha} \vec{z}_0 \\ \overrightarrow{V_{A(S_1/S_0)}} = \vec{0} \end{cases} \quad \{\mathcal{V}_{S_2/S_1}\} = \begin{cases} \overrightarrow{\Omega_{S_2/S_1}} = \dot{\theta} \vec{x}_1 \\ \overrightarrow{V_{B(S_2/S_1)}} = \vec{0} \end{cases}$$

Avec :  $\dot{\alpha} = \omega_{10}$  et  $\dot{\theta} = \omega_{21}$  en radian par seconde

En A et B, liaisons parfaites n'autorisant qu'un ddl chacune.

- En A : Pivot(A,  $\vec{z}_0$ )
- En B : Pivot(B,  $\vec{x}_1$ )

Utilisation de la relation des champs de moments :

$$\overrightarrow{V_{B(S_2/S_0)}} = \overrightarrow{V_{B(S_2/S_1)}} + \overrightarrow{V_{B(S_1/S_0)}}$$

Informations connues à partir  
des torseurs cinématiques

$$\text{Et } \overrightarrow{V_{B(S_1/S_0)}} = \overrightarrow{V_{A(S_1/S_0)}} + \overrightarrow{\Omega_{S_1/S_0}} \wedge \overrightarrow{AB}$$

On a alors :

$$\begin{aligned}\overrightarrow{V_{B(S_2/S_0)}} &= \dot{\alpha} \vec{z}_0 \wedge (a\vec{z}_0 + b\vec{x}_1) \\ \overrightarrow{V_{B(S_2/S_0)}} &= \dot{\alpha} b \vec{y}_1\end{aligned}$$

$$\begin{aligned}\overrightarrow{V_{G_2(S_2/S_1)}} &= \overrightarrow{V_{B(S_2/S_1)}} + \overrightarrow{\Omega_{S_2/S_1}} \wedge \overrightarrow{BG_2} \\ \overrightarrow{V_{G_2(S_2/S_1)}} &= -\dot{\theta} c \overrightarrow{y_2}\end{aligned}$$

Torseurs actions mécaniques :

$$\begin{aligned}\{T_{S_0 \rightarrow S_1}\} &= \begin{cases} \overrightarrow{F_{S_0 \rightarrow S_1}} = X_{01} \overrightarrow{x_1} + Y_{01} \overrightarrow{y_1} + Z_{01} \overrightarrow{z_1} \\ \overrightarrow{M_{A(S_0 \rightarrow S_1)}} = L_{01} \overrightarrow{x_1} + M_{01} \overrightarrow{y_1} \end{cases} \\ \{T_{S_1 \rightarrow S_2}\} &= \begin{cases} \overrightarrow{F_{S_1 \rightarrow S_2}} = X_{12} \overrightarrow{x_2} + Y_{12} \overrightarrow{y_2} + Z_{12} \overrightarrow{z_2} \\ \overrightarrow{M_{B(S_1 \rightarrow S_2)}} = M_{12} \overrightarrow{y_2} + N_{12} \overrightarrow{z_2} \end{cases}\end{aligned}$$

Preuve que les liaisons sont parfaites : le produit torsoriel de chaque liaison est nul.

- $\mathcal{P}_{S_1/S_0} = \{\mathcal{V}_{S_1/S_0}\} \{T_{S_0 \rightarrow S_1}\} = 0$
- $\mathcal{P}_{S_2/S_1} = \{\mathcal{V}_{S_2/S_1}\} \{T_{S_1 \rightarrow S_2}\} = 0$

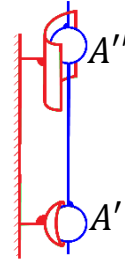
Liaisons équivalentes :

- En A : liaison pivot(A,  $\overrightarrow{z_0}$ ) remplacée par liaison équivalente série (rotule + linéaire annulaire).
- En B : liaison pivot(B,  $\overrightarrow{x_1}$ ) remplacée par liaison équivalente série (rotule + linéaire annulaire).

Schéma cinématique : il suffit de remplacer, sur le schéma, les liaisons originelles par les liaisons équivalentes citées ci-dessus.

Actions mécaniques transmises par ces liaisons :

$$\begin{aligned}\{T_{S_0 \rightarrow S_1}\} &= \begin{cases} \overrightarrow{F_{S_0 \rightarrow S_1}} = X_{01} \overrightarrow{x_1} + Y_{01} \overrightarrow{y_1} + Z_{01} \overrightarrow{z_1} \\ \overrightarrow{M_{A'(S_0 \rightarrow S_1)}} = \vec{0} \end{cases} \\ \{T_{S_0 \rightarrow S_1}\} &= \begin{cases} \overrightarrow{F_{S_0 \rightarrow S_1}} = X_{01} \overrightarrow{x_1} + Y_{01} \overrightarrow{y_1} \\ \overrightarrow{M_{A''(S_0 \rightarrow S_1)}} = \vec{0} \end{cases}\end{aligned}$$



Idem pour la liaison équivalente en B...